

The slide cover features a white background with abstract blue and yellow diagonal lines. In the top left corner is the 'cea list' logo. In the top right corner is the text 'CEA LIST'. The main title 'Introduction au cryptocalcul à base de systèmes homomorphes' is centered in a white box. Below the title, the author's name 'Renaud Sirdey' and email '(renaud\_sirdey@cea.fr)' are listed, followed by the text 'Travail en collaboration avec Simon Fau, Guy Gogniat et Caroline Fontaine'. The date 'Mai 2012' is at the bottom right, along with the 'INSTITUT CARNOT CEA LIST' logo and the 'digiteo' logo. There are also small circular images showing people working at computers.

cea list

CEA LIST

**Introduction au  
cryptocalcul à base  
de systèmes  
homomorphes**

Renaud Sirdey  
([renaud\\_sirdey@cea.fr](mailto:renaud_sirdey@cea.fr))  
Travail en collaboration avec Simon Fau, Guy Gogniat et Caroline Fontaine

Mai 2012

INSTITUT CARNOT  
CEA LIST

digiteo

The agenda slide has a white background with abstract blue and yellow diagonal lines at the bottom. The word 'Agenda' is in the top right corner. A list of five bullet points is centered on the slide. The 'cea list' logo is in the bottom left corner.

2

**Agenda**


- **Chiffrement homomorphe ?**
- **Bref état de l'art.**
- **Le système Brakerski-Gentry-Vaikuntanathan (BGV-12).**
- **Que peut-on faire avec une telle primitive ?**
- **Premiers retours d'expériences.**


cea list

■ 3

## Cryptosystèmes homomorphes ?

- **Informellement : un cryptosystème homomorphe est un cryptosystème qui permet le calcul, en plus des opérations de chiffrement et de déchiffrement.**
  - **Le cryptocalculateur peut injecter des données dans le calcul.**
    - En les chiffrant avec la clef publique ou en utilisant des préchiffrés de 0 et de 1 (applicable au cas symétrique).
  - **Le cryptocalculateur n'a pas accès aux résultats de calcul dans le domaine chiffré.**
    - E.g. le cryptocalculateur ne peut évaluer une condition qui dépend de données du domaine chiffré.
- **Rêvons un peu :**
  - **Calculs déportés (protection des données et des algorithmes), requêtes masquées sur BD (publiques ou pas), inspection de paquets à critères masqués, etc.**







■ 4

## Cryptosystèmes homomorphes ?

- **Plus formellement,**
  - **Par nécessité, il s'agit de cryptosystèmes probabilistes.**
    - Traditionnellement asymétrique et opérant au niveau bit.
  - **Spécification :**
    - $enc_{pk} : Z_2 \rightarrow \Omega$ .
    - $dec_{sk} : \Omega \rightarrow Z_2$ .
    - $add_{pk} : \Omega \times \Omega \rightarrow \Omega$ .
    - $mul_{pk} : \Omega \times \Omega \rightarrow \Omega$ .
  - où  $\Omega$  est un ensemble de grande taille e.g.  $Z_q^n$ .
  - **Avec, pour tout  $m_1 \in Z_2$  et tout  $m_2 \in Z_2$ ,**
    - $dec_{sk}(add_{pk}(enc_{pk}(m_1), enc_{pk}(m_2))) = m_1 \oplus m_2$  (ou-exclusif).
    - $dec_{sk}(mul_{pk}(enc_{pk}(m_1), enc_{pk}(m_2))) = m_1 \otimes m_2$  (et logique).
  - **Mais, être capable de déchiffrer après une opération, n'implique pas la capacité de déchiffrer après un nombre arbitraire d'opérations, donc ce n'est pas suffisant...**







■ 5

## Cryptosystèmes homomorphes ?

- **Ce que l'on veut vraiment :**
  - Pour tout polynôme  $p_{\oplus, \otimes} : \mathbb{Z}_2^n \rightarrow \mathbb{Z}_2$  et tout  $m_1 \in \mathbb{Z}_2, \dots, m_n \in \mathbb{Z}_2$  on doit avoir,
    - $p_{\oplus, \otimes}(m_1, \dots, m_n) = \text{dec}_{\text{sk}}(p_{\text{add}; \text{mul}}(\text{enc}_{\text{pk}}(m_1), \dots, \text{enc}_{\text{pk}}(m_n)))$ .
- **On peut alors évaluer n'importe quel circuit booléen.**
  - I.e., n'importe quel programme à structure de contrôle statique.
    - I.e. pas de if-then-else, pas de boucle à critère d'arrêt dépendante des données chiffrées.
- **La question est donc de savoir s'il existe des cryptosystèmes homomorphes sûrs et efficaces.**
  - Sécurité : réduction à un problème de référence et choix de paramètres,  $\theta(\lambda)$ , relativement aux meilleures attaques connues.
  - Efficacité : overhead polynomial,  $\rho(\lambda)$ , par opération.
    - Efficacité (pratique) : polynôme de petit degré, voire polylog.





■ 6

## Historique de la question

- **1978 : Rivest et al. pose la question de l'existence de tels systèmes.**
  - Partant du constat de l'homomorphisme du RSA pour la multiplication.
- **1978-2009 (cf. Fontaine et Galand 2007).**
  - Nombreuses tentatives infructueuses.
  - Nombreuses réponses partielles.
    - E.g. systèmes homomorphe pour l'addition ou la multiplication (RSA, GM, Paillier, ...).
    - $\Sigma$  Suffisant par ex. pour tous les opérateurs linéaires en traitement du signal (convolution, DFT, DWT, etc.).
- **2009 : breakthrough théorique (Gentry, STOC'09).**
  - Première construction d'un système à sécurité sémantique et à overhead polynomial (donc théoriquement efficace) fondé sur la théorie des réseaux.
  - Système totalement inefficace en pratique car les polynômes sont de degré trop important... Mais la boîte de Pandore est ouverte.
- **2009-to present (début 2012) :**
  - Nouvelles constructions à un rythme de 2 à 3 par an.
    - Fondements mathématiques de plus en plus simples, diminution de l'overhead théorique.
  - État de l'art : Brakerski (2011), système sans bootstrapping, Gentry (2011), système à overhead polylogarithmique.






7

## Exemple illustratif

- **van Dijk et al. (2010), version symétrique :**
  - **Clef :**
    - Un entier impair  $p \in [2^{n-1}, 2^n[$ , aléatoirement choisi.
  - **Chiffrement de  $m \in \{0,1\}$  :**
    - Choisir aléatoirement  $q$  et  $r$  ( $2r < p/2$ ) et poser  $c := qp + 2r + m$ .
  - **Déchiffrement :**
    - $m := (c \bmod p) \bmod 2$ .
- **Sécurité de la construction :**
  - **Problème de référence (approximate GCD) :**
    - Étant donné un ensemble d'entier  $x_1, \dots, x_n$  choisis aléatoirement proche de multiples d'un entier  $p$ , trouver  $p$ .
  - **Fait : si le problème ci-dessus est difficile, alors cette construction possède la propriété de sécurité sémantique.**

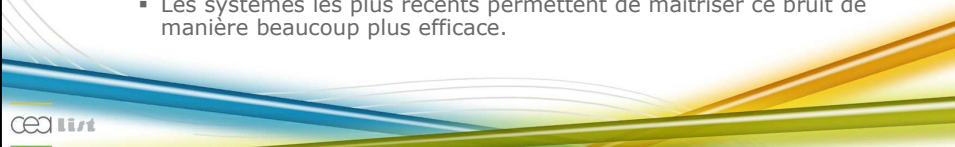


CEC list

8

## Exemple illustratif (cont'd)

- **Propriétés homomorphiques :**
  - $m_1 + m_2 = D(E(m_1) + E(m_2))$ .
    - $((q_1 + q_2)p + 2(r_1 + r_2) + m_1 + m_2) \bmod p \bmod 2 = m_1 \oplus m_2$ .
  - $m_1 m_2 = D(E(m_1)E(m_2))$ .
    - $((q_1 + 2r_1 + m_1)(q_2 + 2r_2 + m_2)) \bmod p \bmod 2 = ((q'p + 2r' + m_1 m_2) \bmod p) \bmod 2 = m_1 m_2$ .
- **Problème : ces propriétés ne sont stables que jusqu'à un certain point.**
  - Si  $r_1$  et  $r_2$  sont respectivement sur  $N_1$  et  $N_2$  bits alors  $r_1 + r_2$  (resp.  $r'$ ) est sur  $\max(N_1, N_2) + 1$  (resp  $N_1 + N_2$ ) bits.
  - Tant que le bruit,  $r$ , en sortie d'une opération est  $< p$  on peut en déchiffrer le résultat sinon on est en overflow.
    - C'est là que les « ennuis commencent » et qu'il faut avoir recours à des techniques algorithmiques avancées et coûteuses, telles le bootstrapping.
    - Les systèmes les plus récents permettent de maîtriser ce bruit de manière beaucoup plus efficace.




CEC list

■ 9

## Deux principales approches de construction


- **Bootstrapping.**
  - Intuitivement : utiliser un système homomorphe instable pour évaluer homomorphiquement  
 $c=c_1+$  (ou  $\times$ )  $c_2$ ;  $c'=enc_{pk}(dec_{sk}(c))$   
et donc débruiter au gré du calcul.
  - Problèmes : techniques algorithmiques complexes et overhead par opération important.
    - Sans compter l'hypothèse de circularité : chiffrer la clef secrète avec la clef publiques ne doit pas poser de problème.
  - À l'instant  $t$ , on ne connaît pas de système à base de bootstrapping dont l'efficacité pratique ne soit pas prohibitive.
    - Exception faite de CHIMERIC ? (cf. Gentry & Halevi, 11).
- **Systèmes banqués.**
  - Pas de bootstrapping.
  - Les calculs se font sur un « banc » de cryptosystèmes.
    - Ces systèmes gèrent le bruit de manière bcp plus efficace mais tous les problèmes ne sont pas résolus pour autant (cf. ci-après).



■ 10

## Rappels sur les circuits booléens


- **Définition : un graphe orienté  $G=(V,A)$  dont les sommets sont des entrées, des sorties ou des opérateurs (XOR, AND) et les arcs des « transferts » de données.**
- **Caractéristiques importantes :**
  - Profondeur : nombre d'arcs du plus long chemin séparant un sommet d'entrée (sans prédécesseurs) d'un sommet de sortie (sans successeurs).
  - Profondeur multiplicative : plus grand nombre d'opérateurs AND intervenant dans le calcul d'une sortie.
  - Ordre topologique :  $f : V \rightarrow \{1, \dots, |V|\}$  t. q. pour tout arc  $(v,w)$ ,  $f(v) < f(w)$ . Défini un ordre dans lequel on peut évaluer les opérateurs.
  - Classe topologique : les opérateurs de même profondeur, peuvent être réalisés en parallèle.



■ 11

## BGV-12


- **Cf. Z. Brakerski, G. Gentry, V. Vaikuntanathan, « (Leveled) fully homomorphic encryption without bootstrapping », ITCS'12, pp. 309-325.**
- **Premier candidat à overhead non prohibitif ( $O(\lambda L^3)$  par opération).**
- **Cryptosystème homomorphe « banqué ».**
  - On travaille sur une séquence de cryptosystèmes (des grands vers les petits modules).
    - Les additions (XOR) sont réalisables au sein d'un même niveau.
    - Les multiplication (AND) font changer de niveau.
  - Le paramètre clef est donc la profondeur multiplicative.



■ 12

## Principe des systèmes banqués


- **Addition :**
  - Soit deux cryptobits  $c_1$  et  $c_2$  de niveau  $n_1$  et  $n_2$ .
  - Step 1 : mise à niveau des cryptobits à  $\max(n_1, n_2)$ .
  - Step 2 : opérateur d'addition.
- **Multiplication :**
  - Soit deux cryptobit  $c_1$  et  $c_2$  de niveau  $n_1$  et  $n_2$ .
  - Step 1 : mise à niveau des cryptobits à  $\max(n_1, n_2)$ .
  - Step 2 : opérateur de multiplication.
    - Donne une entité que l'on peut mettre à niveau mais qui n'est pas déchiffirable en tant que tel (cf. plus loin).
  - Step 3 : mise au niveau  $1 + \max(n_1, n_2)$ .
    - Et on obtient bien un cryptobit déchiffirable à ce niveau.



■ 13

### BGV-12 : chiffrement/déchiffrement (variante vectorielle)


- **Paramètres :**
  - $\mu, n, N$ , entiers.
  - $q$  un module sur  $\mu$  bits.
  - $\chi$  : une loi de probabilité sur  $Z_q$ .
- **Clef secrète :**
  - Poser  $s'=(s'_0 \dots s'_{n-1})$  où les  $s'_i$  sont tirés selon  $\chi$ .
  - $sk=s=(1 \ s'_0 \dots s'_{n-1})$ .
- **Clef publique :**
  - Tirer uniformément une matrice  $N \times n$ ,  $A'$ , dans  $Z_q$ .
  - Tirer un vecteur de dimension  $N$ ,  $e$ , selon  $\chi$ .
  - Poser  $pk=A=(A's'+2e \ | \ -A')$ .
- **Chiffrement ( $m \in Z_2$ ) :**
  - Poser  $m'=(m \ 0 \dots 0) \in Z_2^{n+1}$ , tirer  $r$  uniformément dans  $Z_2^N$ .
  - $c=m'+A^T r \in Z_q^{n+1}$ .
- **Déchiffrement ( $c \in Z_q^{n+1}$ ) :**
  - $m=[[c^T s]_q]_2$ .



■ 14

### BGV-12 : définition du banc

- **Paramètres :**
  - $\mu, n, N$ , entiers.
  - On construit un banc de  $L+1$  systèmes tels que précédent.
    - Modules de  $q_L$  (sur  $(L+1)\mu$  bits) à  $q_0$  (sur  $\mu$  bits).
    - La loi de probabilité  $\chi$  ne varie pas forcément.
- **Changement de clef (switchKey) :**
  - Pour  $s_1 \in Z_q^{n_1}$  et  $s_2 \in Z_q^{n_2}$ , on construit un opérateur de changement de clef  $t. q.$  à partir d'un chiffré  $c_1$  (déchiffirable avec  $s_1$  et  $q$ ) on obtient un chiffré  $c_2$  (déchiffirable avec  $s_2$  et  $q$ ).
    - En pratique, on calcule une matrice  $B$  ( $n_1 \log(q) \times n_2$ )  $t. q.$   $BitDecomp(c_1)^T B = c_2$ .
- **Changement de module (rescale) :**
  - Permet de passer d'un chiffré  $c_2$  déchiffirable avec  $s_2$  et  $q_1$  à un chiffré déchiffirable avec  $s_2$  et  $q_2 < q_1$ .
- **Dès lors on peut convertir des chiffrés de niveau  $i$  en chiffrés de niveau  $i-1$  (refresh).**
  - Auquel cas il faut « réinterpréter » un chiffré de niveau  $i$  comme étant chiffré avec la clef  $s_i \otimes s_i$ .



■ 15

## BGV-12 : porte XOR

- **Entrée : deux chiffrés de même niveau,  $i$ .**
  - Refresh permet de mettre à niveau l'un des deux chiffrés si nécessaire.
- **Sortie : un chiffrée de niveau,  $i$ .**
- **Opération : une simple sommation terme à terme modulo  $q_i$ .**
- **Refresh possible pour passer au niveau suivant mais non nécessaire.**
  - Auquel cas (déjà dit) il faut « réinterpréter » le résultat comme étant chiffré avec la clef  $s_i \otimes s_i$ .
  - En pratique, le bruit induit par des additions successives est faible donc on fait l'économie de cette mise à niveau.

CEC list

■ 16

## BGV-12 : porte ET

- **Entrée : deux chiffrés  $c_1$  et  $c_2$  de même niveau,  $i$ .**
  - Refresh permet de mettre à niveau l'un des deux chiffrés si nécessaire.
- **Sortie : un chiffrée de niveau,  $i-1$ .**
- **Opération :**
  - **Produit tensoriel des deux chiffrés.**
    - « Replié » par rapport à la 1<sup>ère</sup> diagonale.
    - Donne un chiffré déchiffrable avec  $s_i \otimes s_i$ .
  - Refresh du niveau  $i$  vers le niveau  $i-1$  pour récupérer un chiffré de niveau  $i-1$ .
- **Donc opération plus coûteuse, qui nécessite un appel systématique à refresh et qui fait augmenter le nombre de niveaux du système.**

CEC list



■ 17

## Implémentations

- **De nombreuses implémentations non publiques en cours.**
  - Notamment Gentry et al. sur l'AES (cf. plus loin).
- **Une implémentation open source (par Perl et al.) du système de Smart & Vercauten (à base de bootstrapping).**
  - [www.hcrypt.com](http://www.hcrypt.com).
- **Implémentation CEA LIST (S. Fau, R. Sirdey).**
  - Variantes vectorielle et polynomiale de BGV-12.
  - Support d'exécution littérale d'algorithmes haut-niveau.
    - Avec parallélisme « interne » au cryptosystème.
  - Compilation en circuits booléens et exécution niveau circuit.
    - Avec parallélisme « interne » ou « externe » au cryptosystème selon capacités du calculateur cible.

CEA list

■ 18

## Calculer dans le domaine des chiffrés

- **Il est facile de définir un type entier doté d'opérateurs réalisables hermétiquement dans le domaine chiffré :**
  - Additionneurs et multiplieurs classiques x-bits.
    - Avec optimisation pour les cas avec booléens.
  - Multiplieur par un entier public.
  - Négation et soustraction (par complément à 2).
  - Décalages vers la gauche (par injection de chiffrés de 0) et vers la droite (par recopie du « cbit » de signe).
  - Comparaisons <, >, etc.
- **Et le problème de la structure de contrôle statique ?**
  - On régularise le contrôle, par exemple en utilisant un opérateur d'affectation conditionnelle :
    - $x=c?a:b$  revient à  $x=c*a \text{ XOR } (!c)*b$ .
      - Σ Le calculateur peut savoir si une variable est booléenne (le résultat de l'évaluation d'un opérateur booléen l'est toujours), mais il ne peut pas avoir accès à sa valeur.

CEA list

■ 19

## Exemple (didactique) : tri à bulle

- **Principe :**
  - **Un code unique paramétré par un type entier permettant :**
    - L'exécution en clair (bit à bit ou pas) pour la mise au point.
    - L'exécution symbolique pour la caractérisation.
      - Σ Profondeur multiplicative, etc.
    - L'exécution littérale dans le domaine chiffré.
    - La génération de données de compilation.
      - Σ Graphe du circuit.
- **Exécution littérale :**
  - **Type entier paramétrisé par un type bit (clair ou chiffré) supportant les opérateurs :**
    - +, - (unaire et binaire), \*, <<, >>, <, >, !, etc.
    - Σ Tous étant réalisables hermétiquement dans le domaine chiffré.

```

template<typename integer>
void bsort(integer * const arr,
           const int n)
{
    assert(n>0);

    for(int i=0;i<n-1;i++)
    {
        for(int j=1;j<n-i;j++)
        {
            integer swap=arr[j-1]>arr[j];
            integer t=select(swap,arr[j-1],arr[j]);
            arr[j-1]=select(swap,arr[j],arr[j-1]);
            arr[j]=t;
        }
    }
}
    
```

Où la fonction select régularise le contrôle dépendant des données (select(c,a,b)≡c?a:b).

CEELiist

■ 20

## Tableaux : déréférencement et affectation

- **Indices en clair.**
  - Trivial.
- **Indices chiffrés :**
  - **Déréférencement :**  $t[i] \equiv \sum_{j=1}^n \chi(i, j) \times t[j]$
  - avec  $\chi(i,j)=1$  si  $i=j$ , 0 sinon.
    - I.e. c'est juste l'opérateur ==.
  - **Affectation ( $t[i]:=v$ ) :**

$$t[j] := \chi(i, j) \times v \oplus (1 - \chi(i, j)) \times t[j], \forall j$$

pour  $j=1$  à  $n$ .
  - **Donc le déréférencement et l'affectation sont en  $O(n)$  (sic !).**
    - Mais c'est le prix à payer pour ne rien révéler sur les indices.

CEELiist

■ 21

## Un peu de génie logiciel...

- **Support de calcul bit à bit.**
  - Schématiquement une classe C++  
template<typename bit,int size> class Integer,  
dotée des opérateurs usuels +, -, \*, <<, >>, <, >, etc., sert  
de base à l'expression haut niveau (mais paramétrique) des  
algorithmes.
    - template<typename integer> void bsort(integer \* arr,int n)
  - En phase d'analyse et de mise au point l'algorithme est alors  
instancié sur des « bits clairs ».
    - E.g., bsort<Integer<ClearBit,4> >(a,n);
  - En phase de déploiement, sur des « crypto bits ».
    - E.g., bsort<Integer<CryptoBit,4> >(a,n);
- **Indépendant du cryptosystème sous-jacent.**

CEA list

■ 22

## ... Et de parallélisme

- **switchKey est le point chaud :**
  - Techniques de caching pour éviter de répéter les mises à  
niveau déjà faites.
    - I.e., chaque cbit se rappelle de ses mises à niveau dans une  
structure de données associative.
  - Parallel for (OpenMP) dans l'outer loop du produit matriciel.
    - Meilleure stratégie pour les petits multicœurs.
  - Et la possibilité d'utiliser une seule clef secrète !
    - Cf. Gentry et al., 12 (eprint.iacr.org/2012/099).
    - Non encore supporté par nos implémentations.
- **Sur des calculateurs parallèles plus massifs :**
  - Chercher le parallélisme au niveau des classes d'équivalence  
du circuit booléen.
    - Externe au cryptosystème donc.
  - Bien entendu on peut l'associer avec du parallélisme interne.

CEA list

■ 23

## Caractérisation des algorithmes

- **Pour les programmes à structure de contrôle statique, analyse statique et dynamique coïncident.**
  - **Conséquence :** pour caractériser un programme il suffit de l'exécuter avec un support de calcul bit à bit sur n'importe quelles entrées.
  - **Nécessité pour les systèmes banqués :**
    - Profondeur multiplicative pour le dimensionnement du cryptosystème.
  - **Compilation :**
    - Construction du circuit booléen (pas forcément nécessaire mais c'est une bonne abstraction pour faire de la compilation).
    - Problème à adresser : organiser les calculs de manière à minimiser le nombre de changement de clefs (i.e., de manière à maximiser l'efficacité du cache de profondeur).

CEA list

■ 24

## Caractérisation de quelques algorithmes

	$b^2 - 4ac$ (8 bits)	$b^2 - 4ac$ (16 bits)	$\sum_{i=1}^{10} t[i]$ (8 bits)
# add	332	1188	207
# mul	302	1126	135
depth	43	83	24
× depth	16	32	8
Av. //	14.74	27.88	6.75
	$\sum_{i=1}^{10} t[i]$ (16 bits)	b. sort (10 × 4 bits)	b. sort (10 × 8 bits)
# add	423	1620	3240
# mul	279	1350	2790
depth	48	214	350
× depth	16	68	136
Av. //	14.62	13.88	17.23
	FFT (256 × 32 bits)		
# add	7291592		
# mul	5296128		
depth	674		
× depth	166		
Av. //	18676.10		

CEA list

■ 25

## Quelques temps d'exécution

- **Variante vectorielle de BGV-12.**

- Sur un Intel dual core à 2GHz, jeu de petits paramètres.
- Cache de profondeur pour éviter les mises à niveau redondantes.
- Parallel for (OpenMP) dans l'outer loop du produit matriciel de switch key (speedup ~ 40%).

	$b^2 - 4ac$ (8 bits)	$b^2 - 4ac$ (16 bits)	$\sum_{i=1}^{10} t[i]$ (8 bits)
Temps	0.406 s	4.124 s	0.125 s
Eff. cache	46%	40%	47%
Taille PK	1.1 Mo	7.8 Mo	196 ko
	$\sum_{i=1}^{10} t[i]$ (16 bits)	b. sort (10 × 4 bits)	b. sort (10 × 8 bits)
Temps	0.562 s	5.219 s	18.110 s
Eff. cache	47%	64%	64%
Taille PK	1.1 Mo	68.5 Mo	525 Mo

CEC list

■ 26

## D'autres temps d'exécution (HCRYPT)

- **Implémentation par Brenner et al. du système de Smart & Vercauten.**

- Sur un Intel dual core à 2 GHz (1 seul cœur mobilisé).
- Paramètres par défaut de la librairie.
  - Cf. [www.hcrypt.com](http://www.hcrypt.com).

	$b^2 - 4ac$ (8 bits)	$b^2 - 4ac$ (16 bits)	$\sum_{i=1}^{10} t[i]$ (8 bits)
Temps	58.9 s	3 m 39 s	27.2 s
	$\sum_{i=1}^{10} t[i]$ (16 bits)	b. sort (10 × 4 bits)	b. sort (10 × 8 bits)
Temps	55.4	5 m 5 s	9 m 41 s


- Rappelons qu'en théorie, le système de Smart & Vercauten est (bcp) moins attractif que BGV-12.

CEC list

■ 27

## Conclusions et perspectives

- **Avancées théoriques.**
  - À l'instant t de cet exposé, l'état de l'art est instable : stay tuned !
    - E.g. Z. Brakersky, « Fully homomorphic encryption without modulus switching from classical GapSVP » (eprint.iacr.org/2012/078).
- **Problèmes des paramètres.**
  - Les systèmes proposés repose sur des hypothèses standards.
    - E.g. xLWE pour BGV-12.
  - Par contre, la fixation concrètes des paramètres pour résister aux meilleures attaques connues est à approfondir.
    - Pour l'instant on se contente de petites valeurs.




CE3 lirt

■ 28

## Conclusions et perspectives (cont'd)

- **Le cryptocalcul à base de systèmes homomorphes devrait permettre d'exécuter à relativement court terme des algorithmes simples de petite profondeur multiplicative.**
  - Par ex. des règles de décision simples en publicité ciblée, des opérateurs simples en traitement du signal (y compris non linéaire), etc.
- **Les algorithmes plus volumineux sont hors de portée.**
  - E.g. ~4 h pour effectuer une FFT 256x32 sur un 48 cœurs (avec parallélisme externe).
- **Un autre axe prioritaire concerne les algorithmes de chiffrement symétriques.**
  - Pour se débarrasser de l'overhead données du aux systèmes proba.
    - E.g., on chiffre en homomorphe une clef de 128 bits, on chiffre « classiquement » les données, on déchiffre en homomorphe.
  - Mais, 1 semaine pour une exécution d'AES (Gentry et al., 12, ibid.).
    - Avec un jeu de paramètres plus réaliste.
  - Problème des calculs récurrents avec les systèmes bancaqués.
    - Car leur profondeur multiplicative n'est pas (pratiquement) bornée.
- **Les travaux en compilation, en optimisation, en « homomorphic friendliness » des algorithmes ne font que commencer...**



CE3 lirt